

Fig. 2.

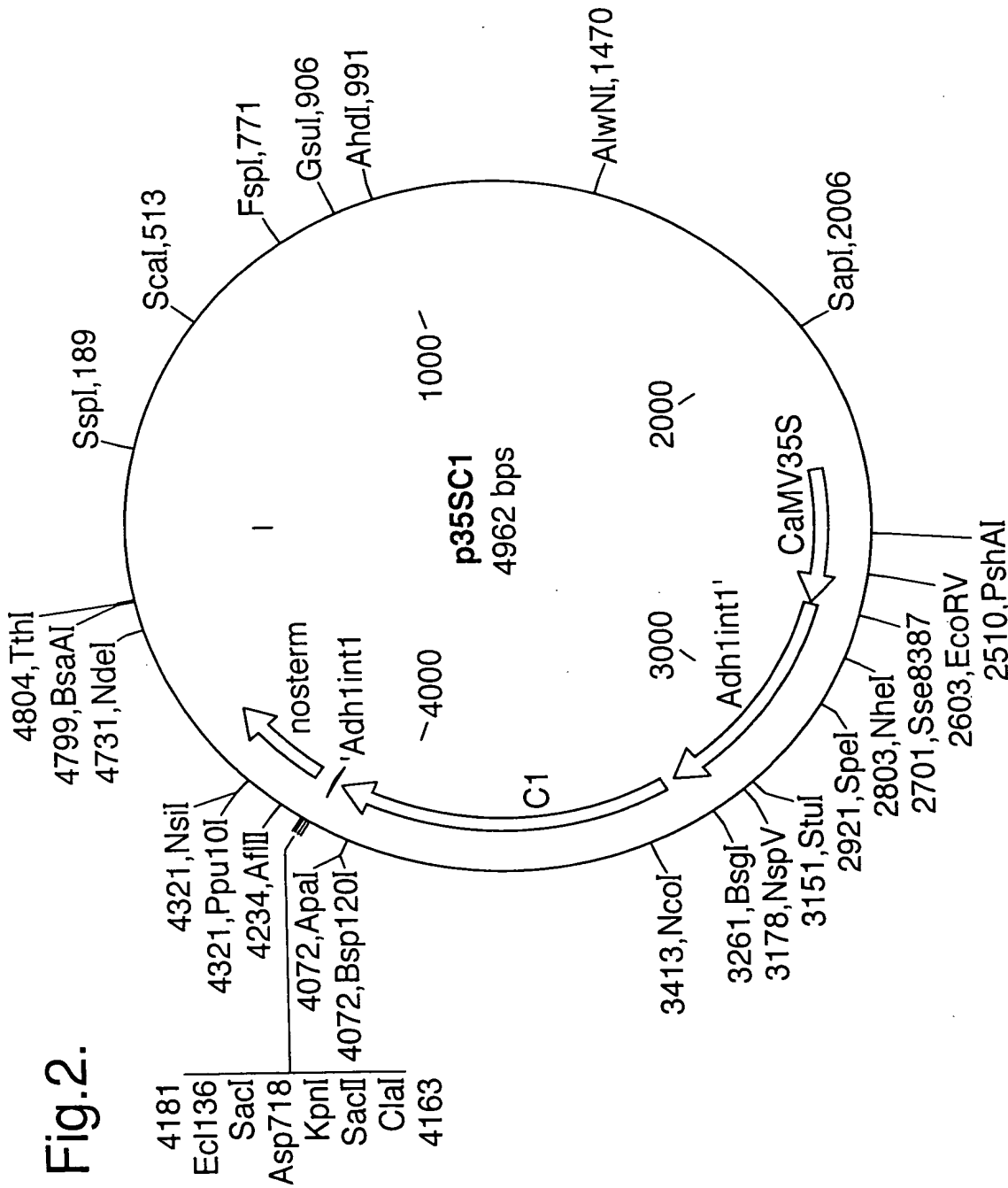


Fig.3.

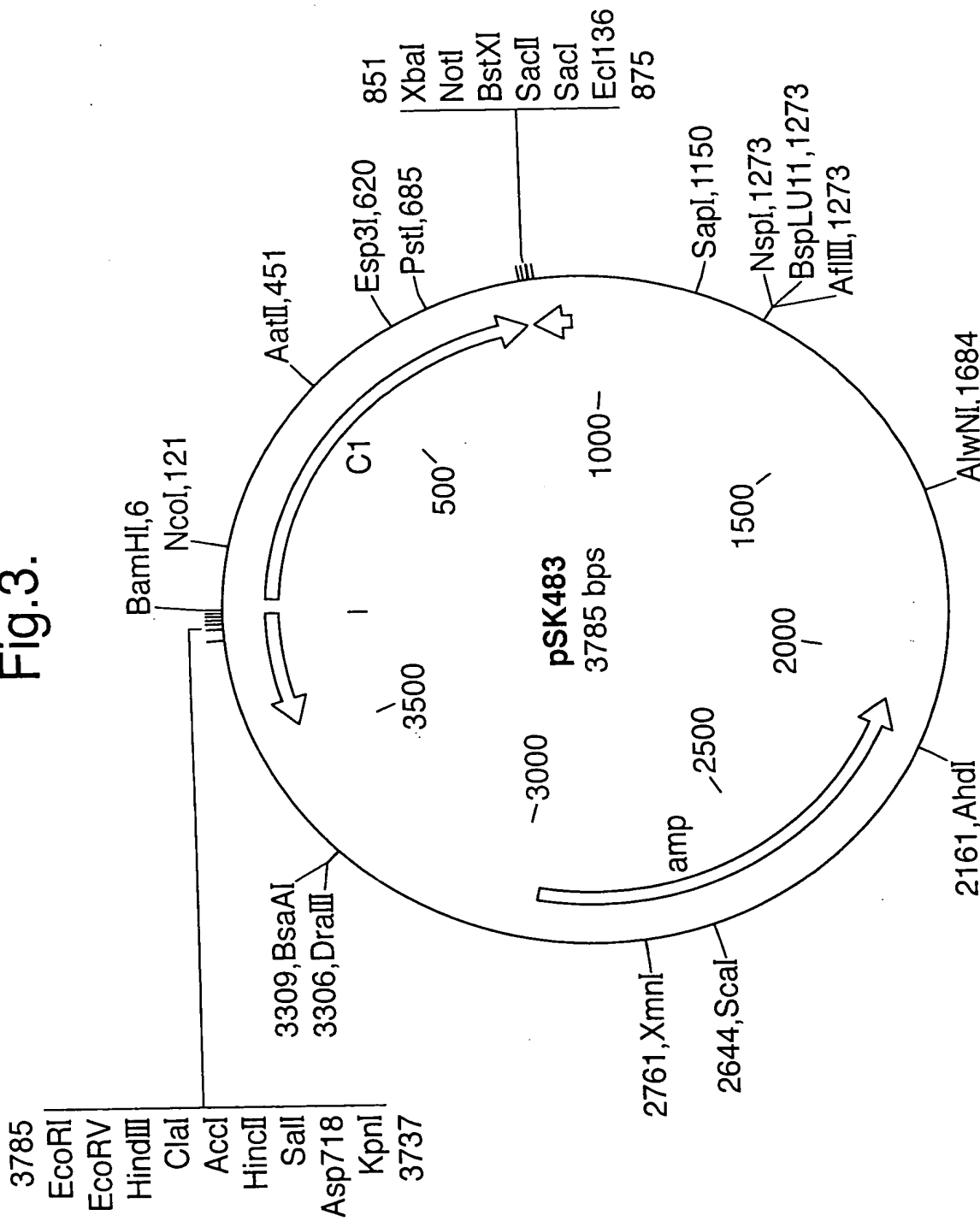
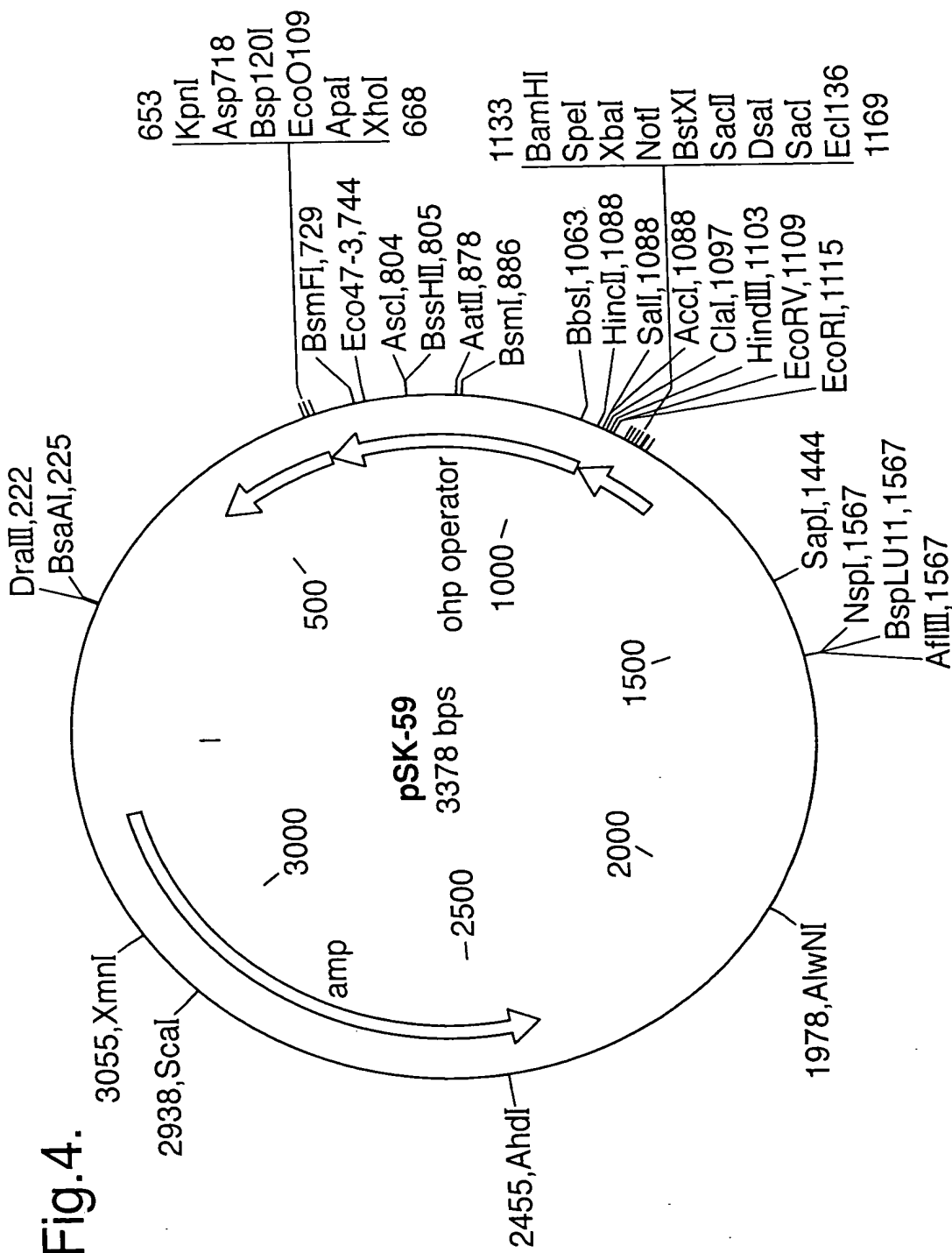
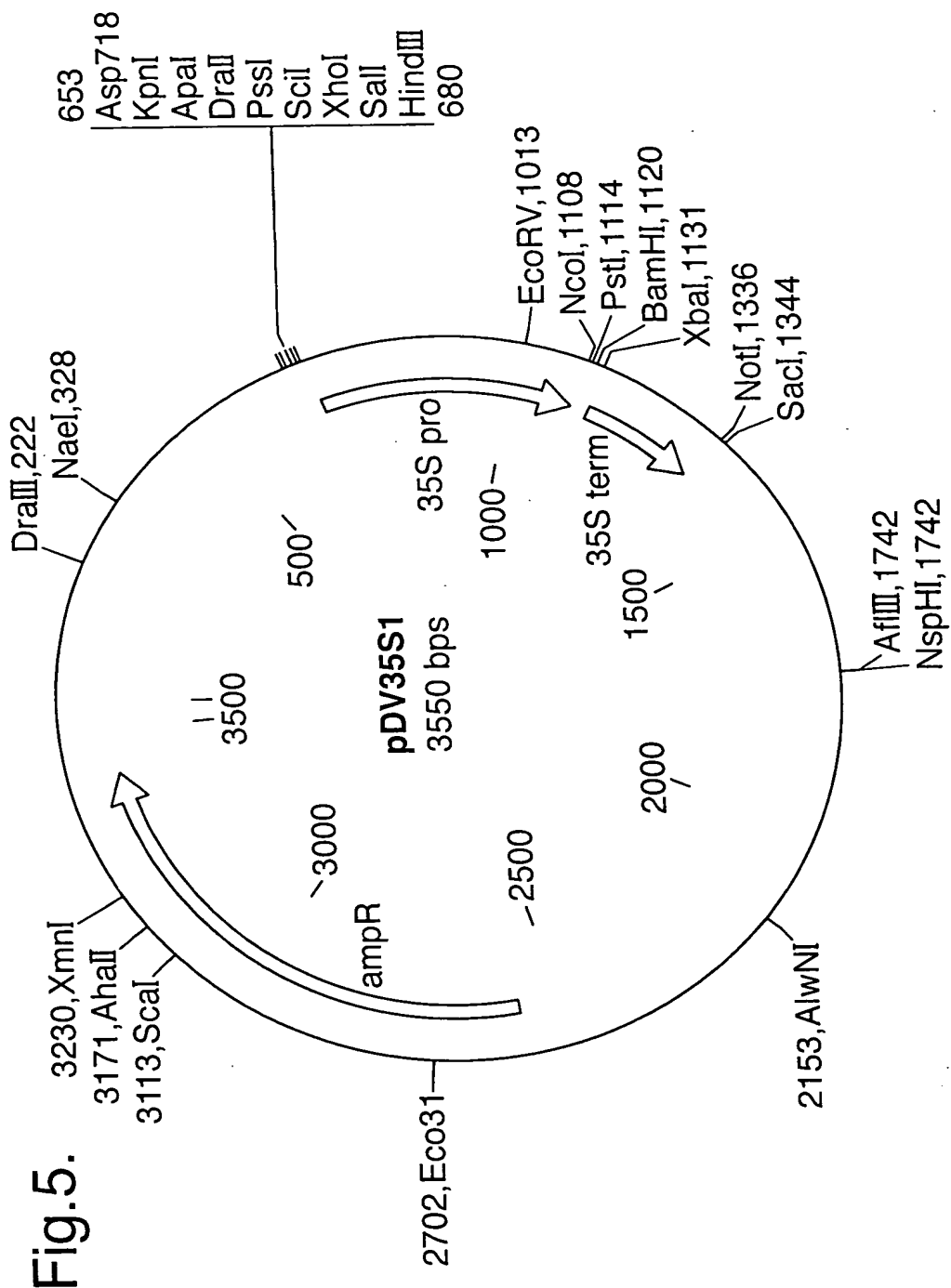


Fig. 4.





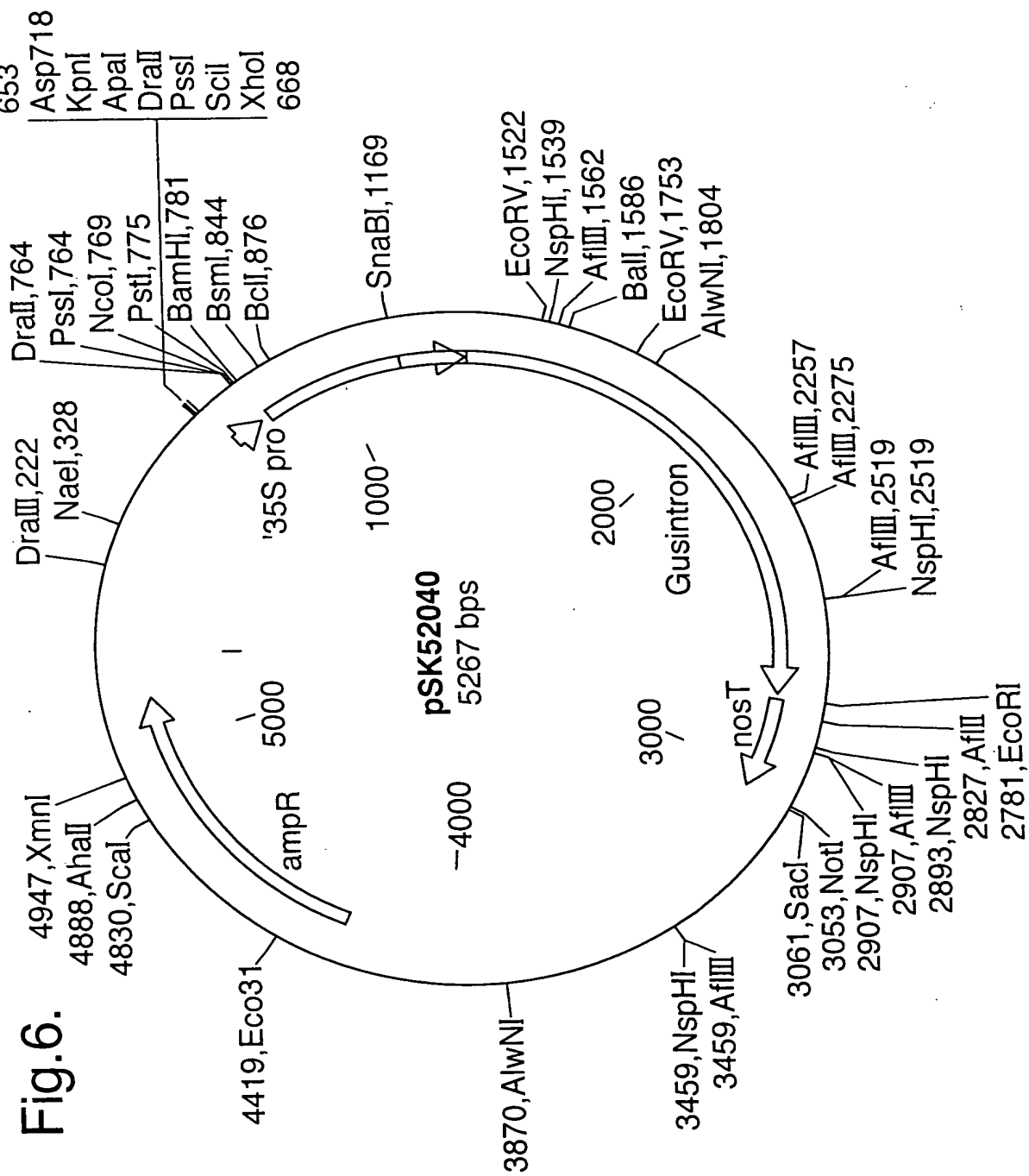
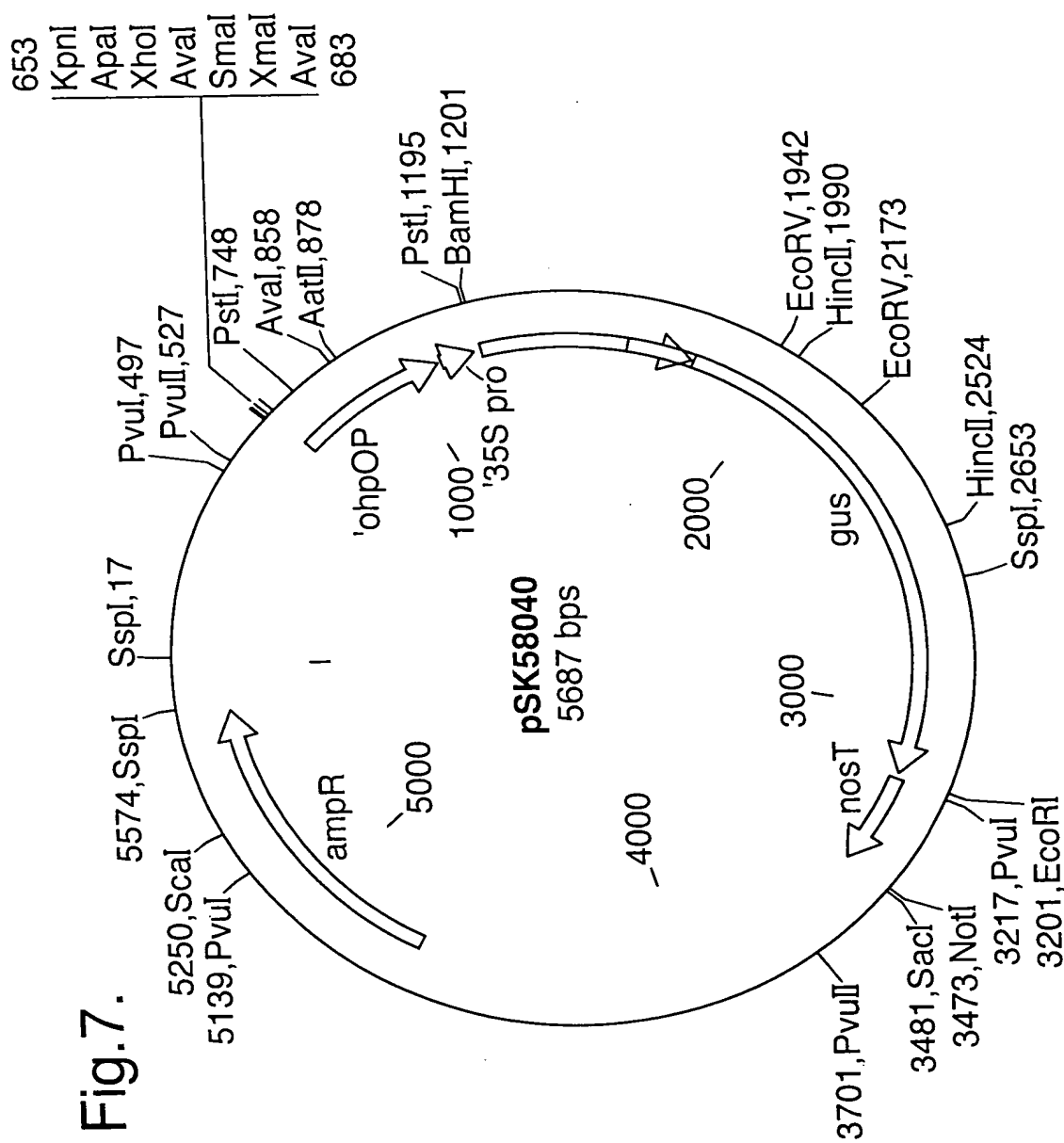
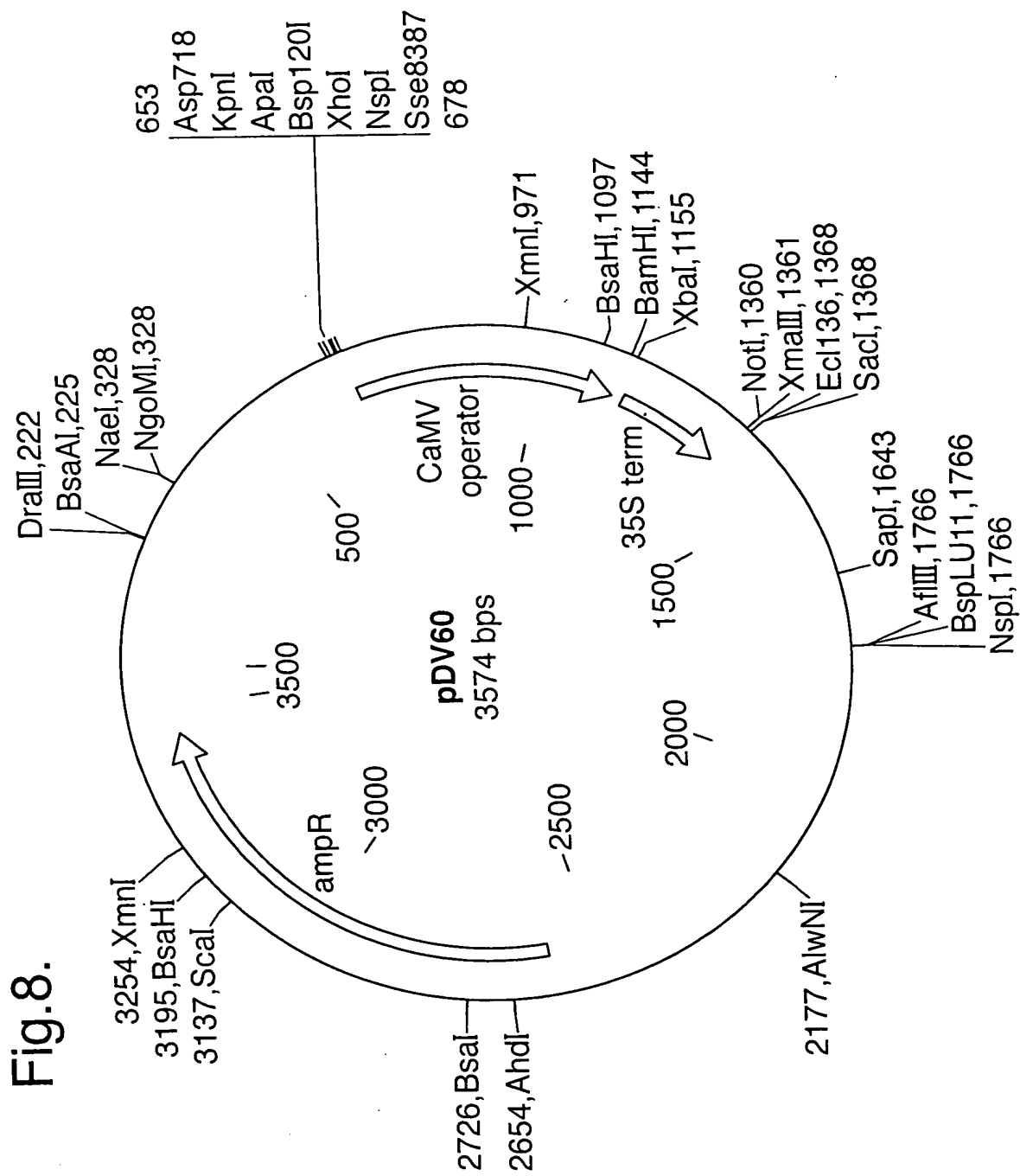


Fig. 7.





9/28

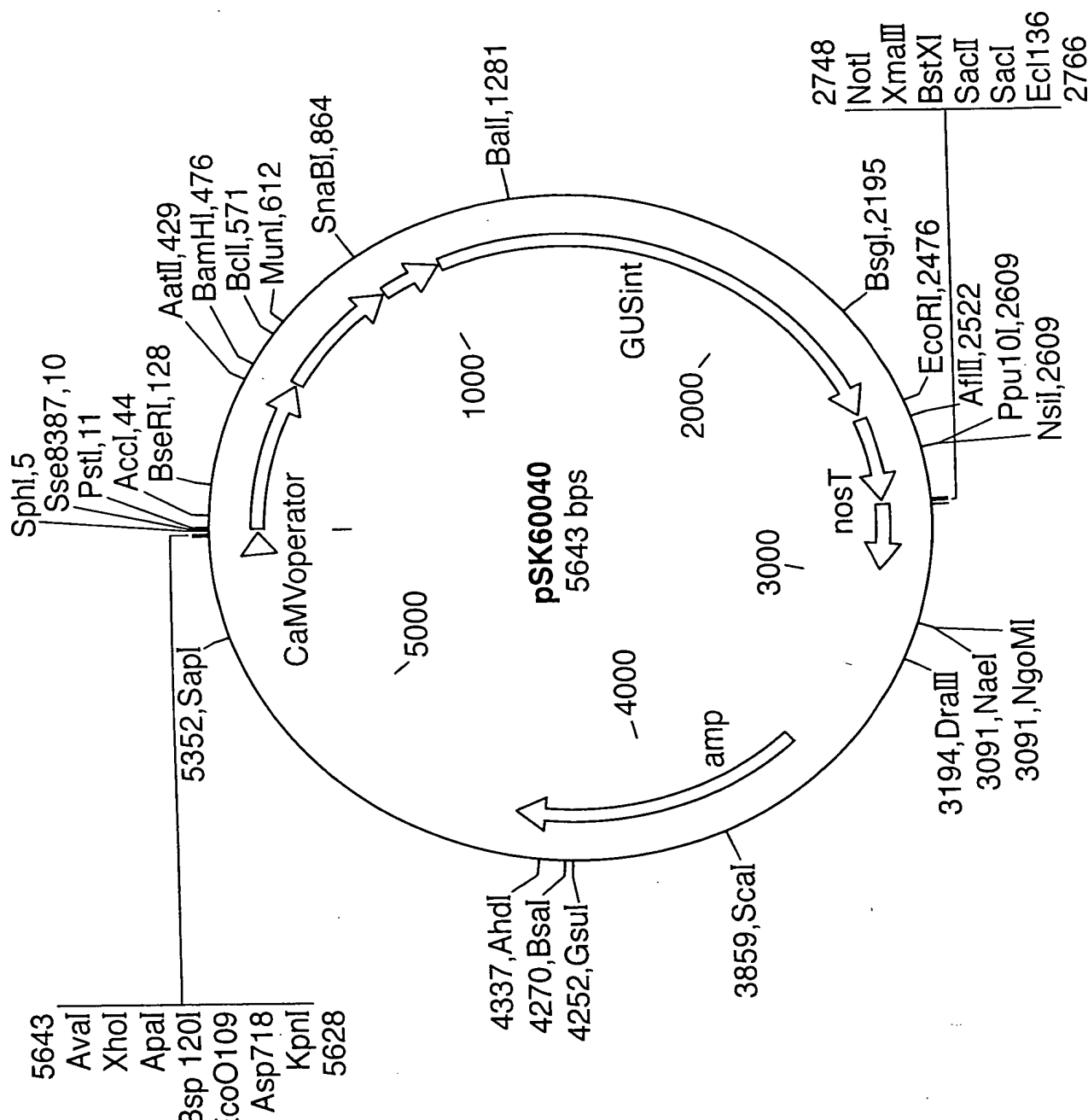
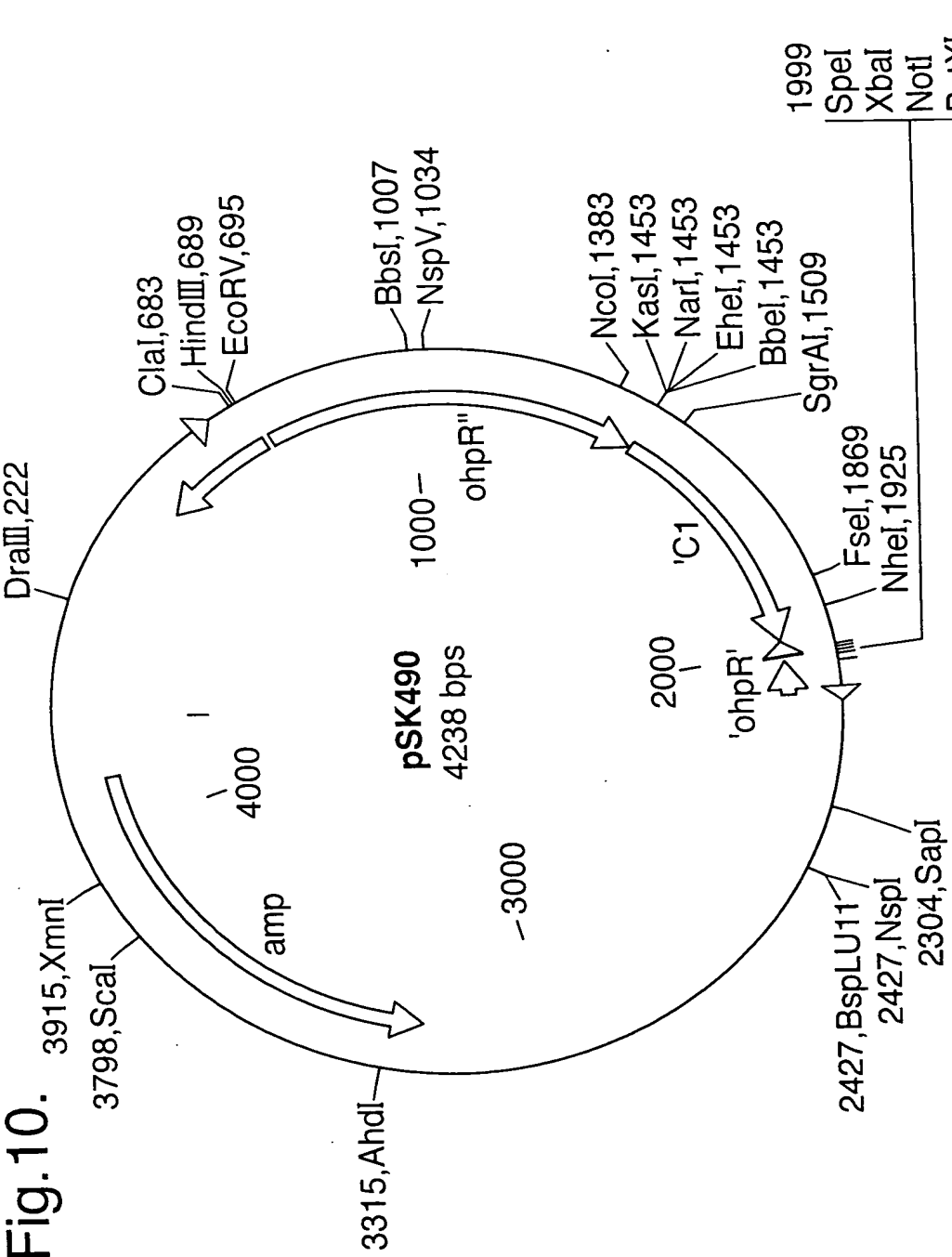
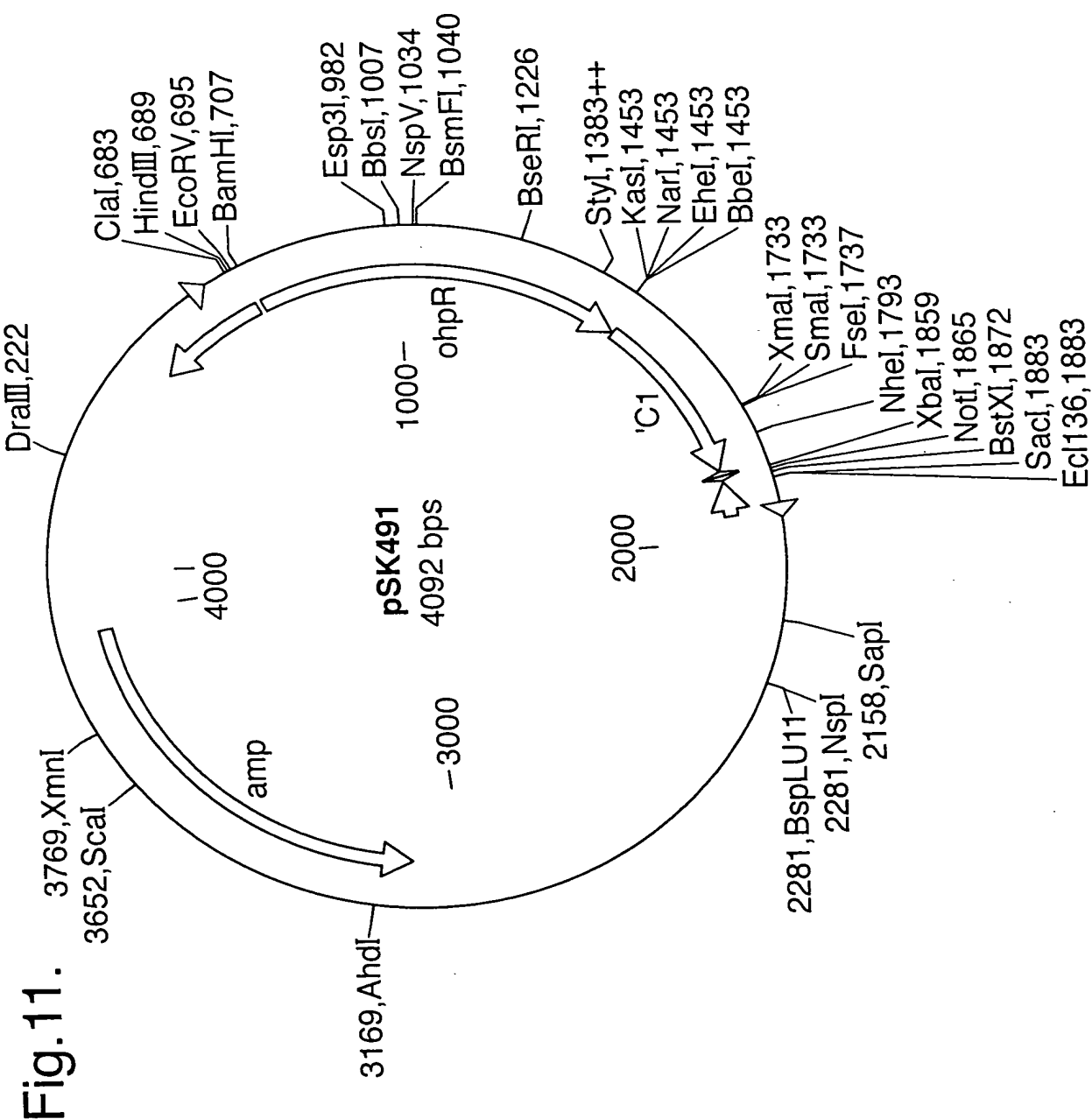


Fig. 9.

Fig. 10. 3915,XmnI
3798,Scal
3315,AhdI
DraIII,222
Clal,683
HindIII,689
EcoRV,695
BbsI,1007
NspV,1034
NcoI,1383
KasI,1453
NarI,1453
EheI,1453
BbeI,1453
SgrAI,1509
FseI,1869
NheI,1925
2427,BspLU11
2427,NspI
2304,SapI
1999
SpeI
XbaI
NotI
BstXI
SacI
Ecl136
2029





12/28

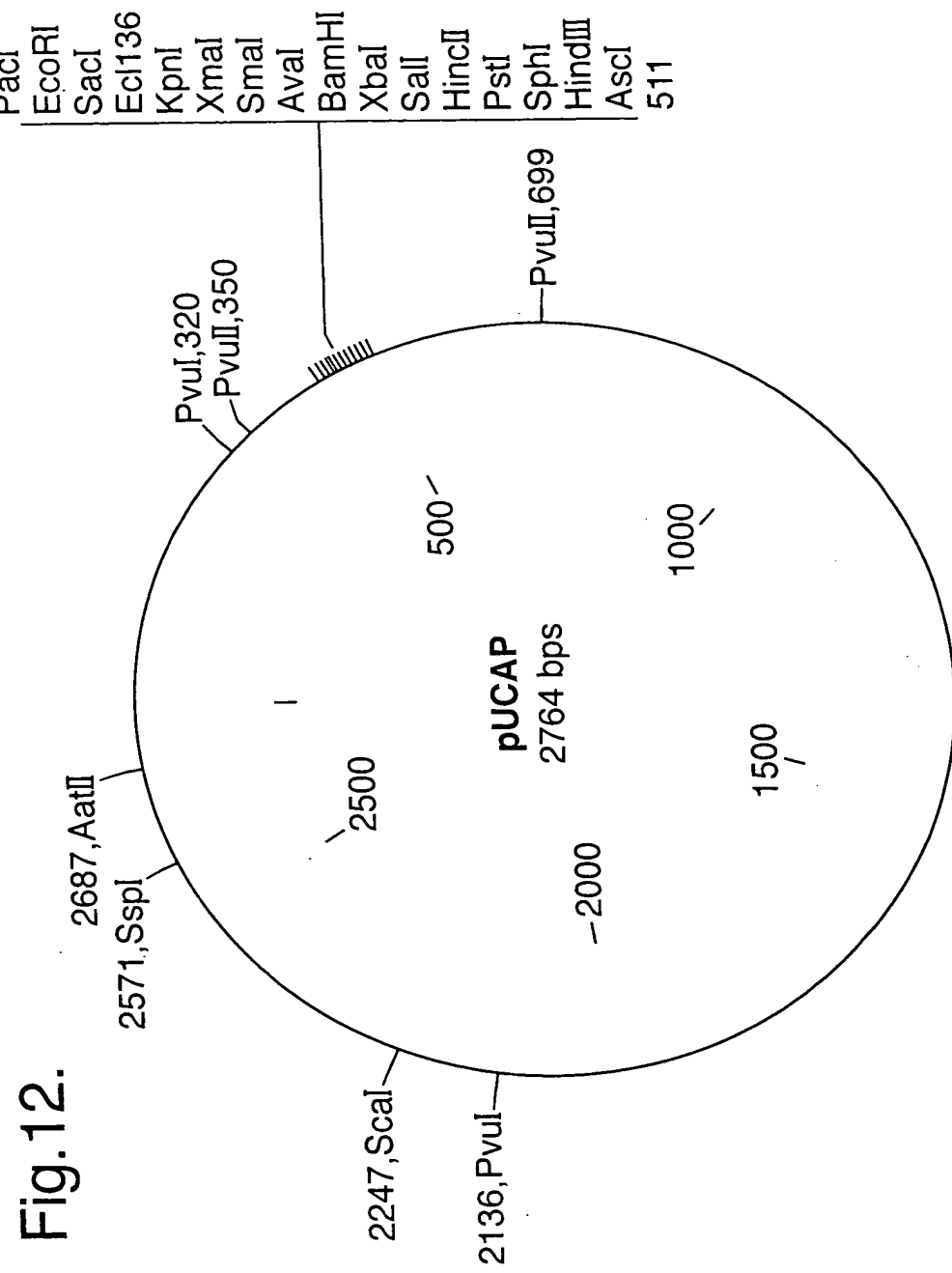
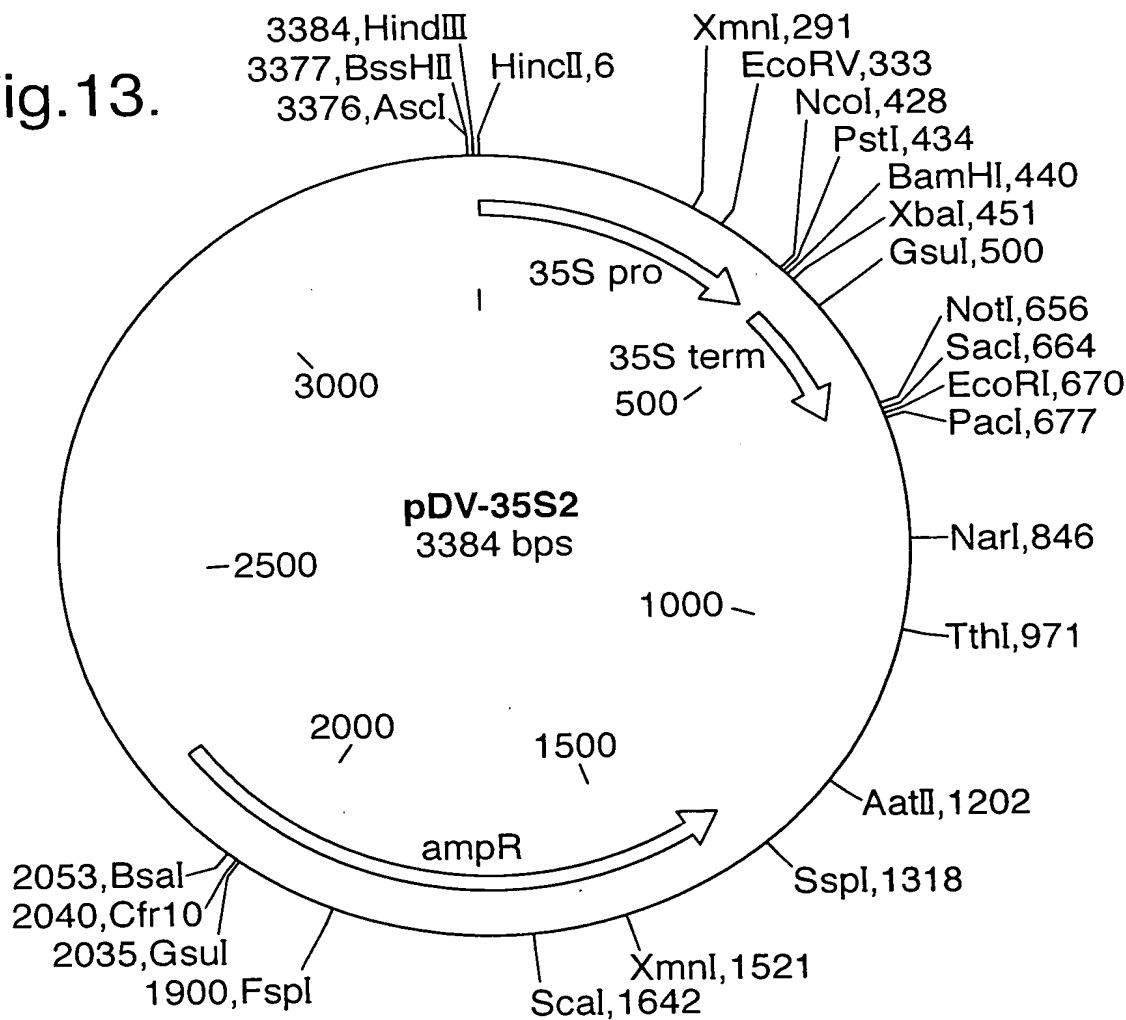


Fig. 12.

Fig. 13.



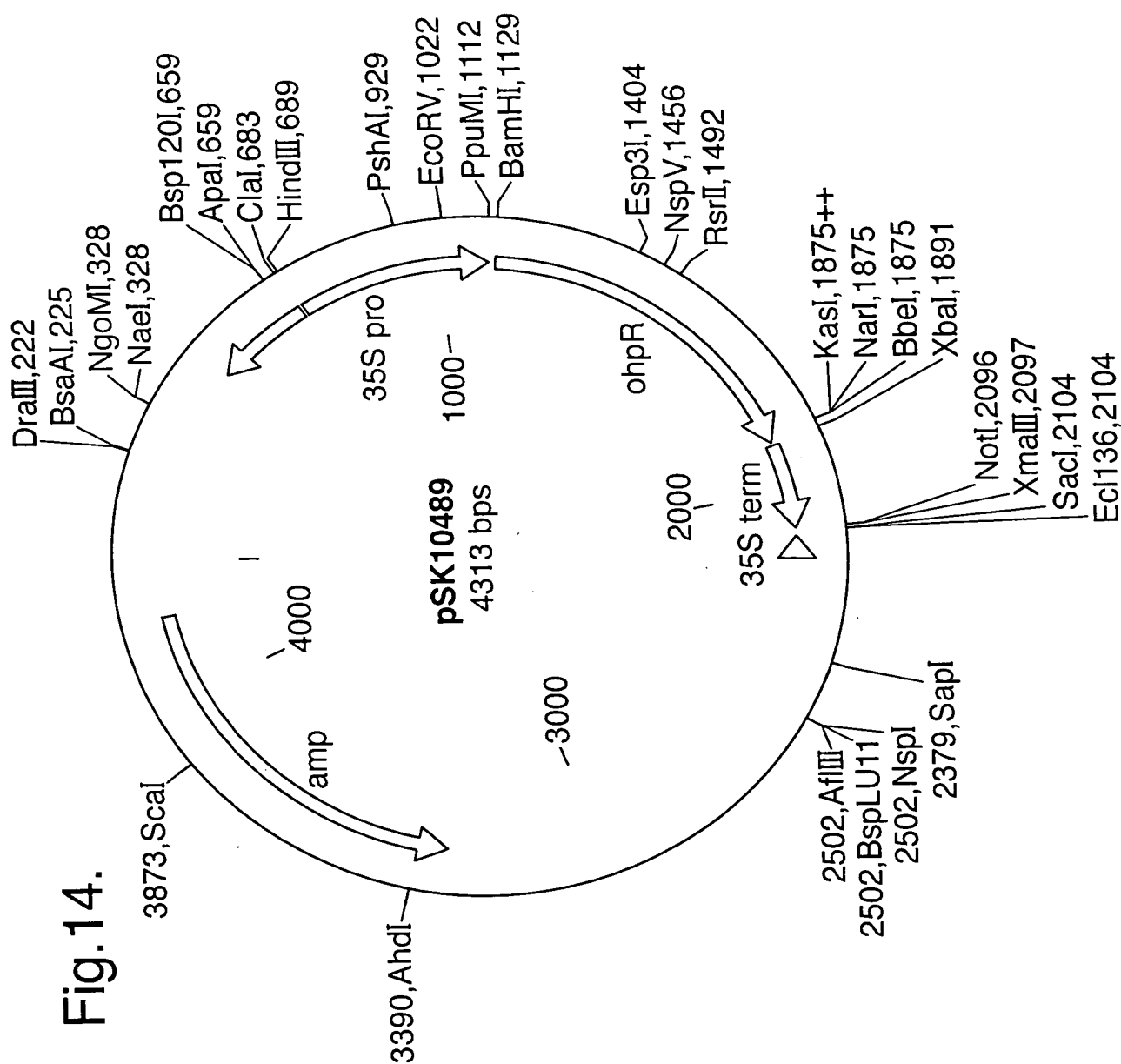
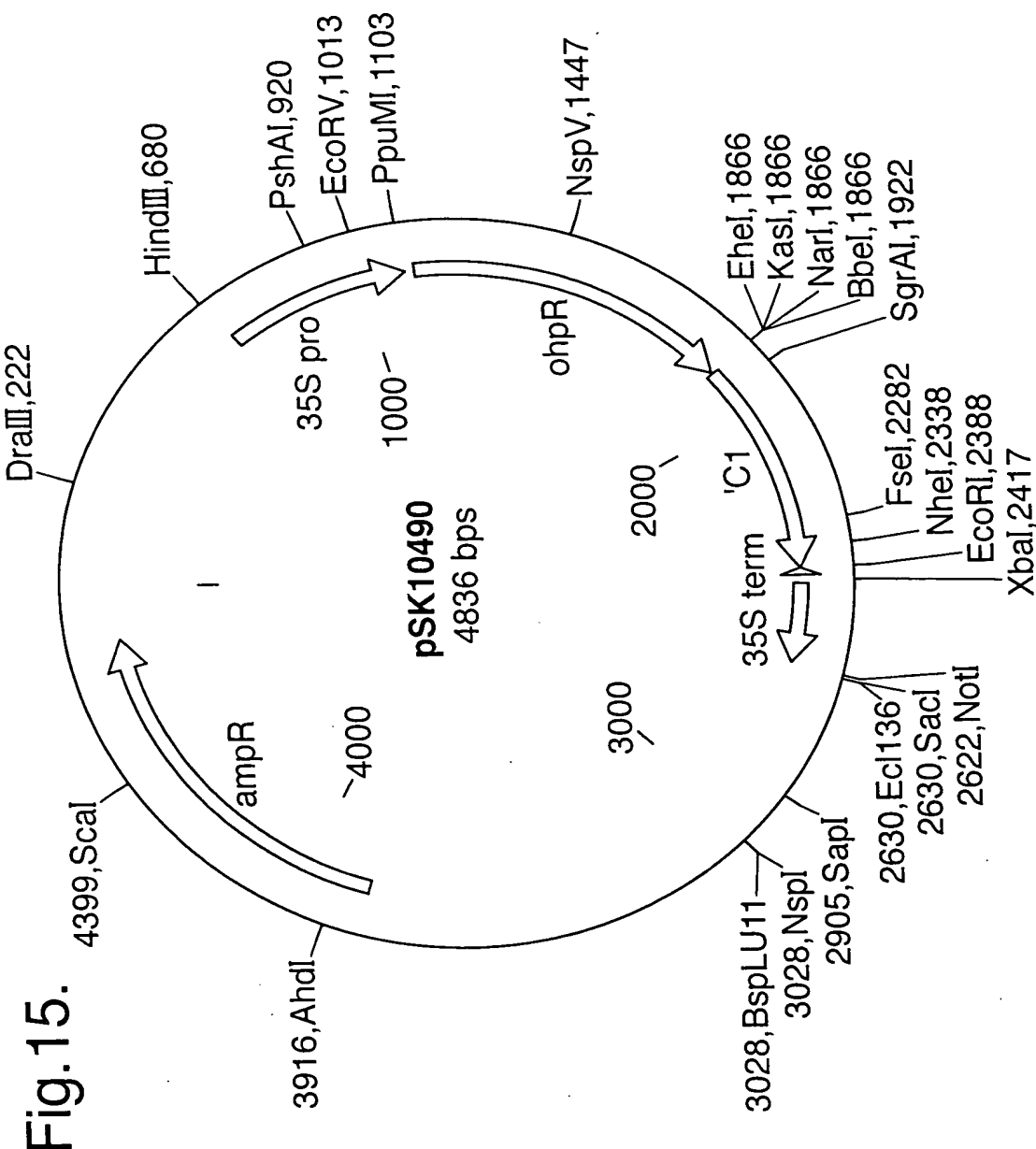
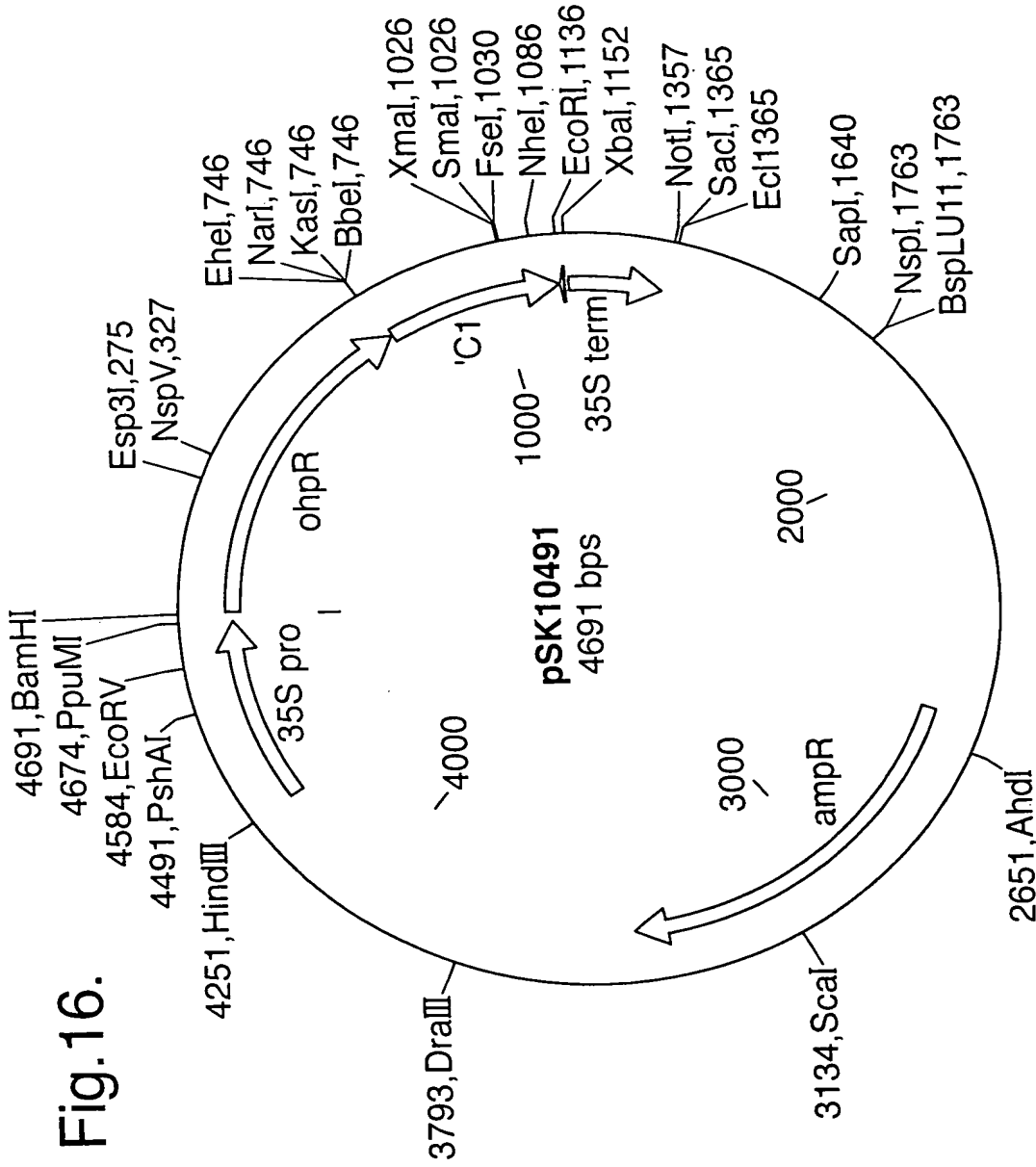
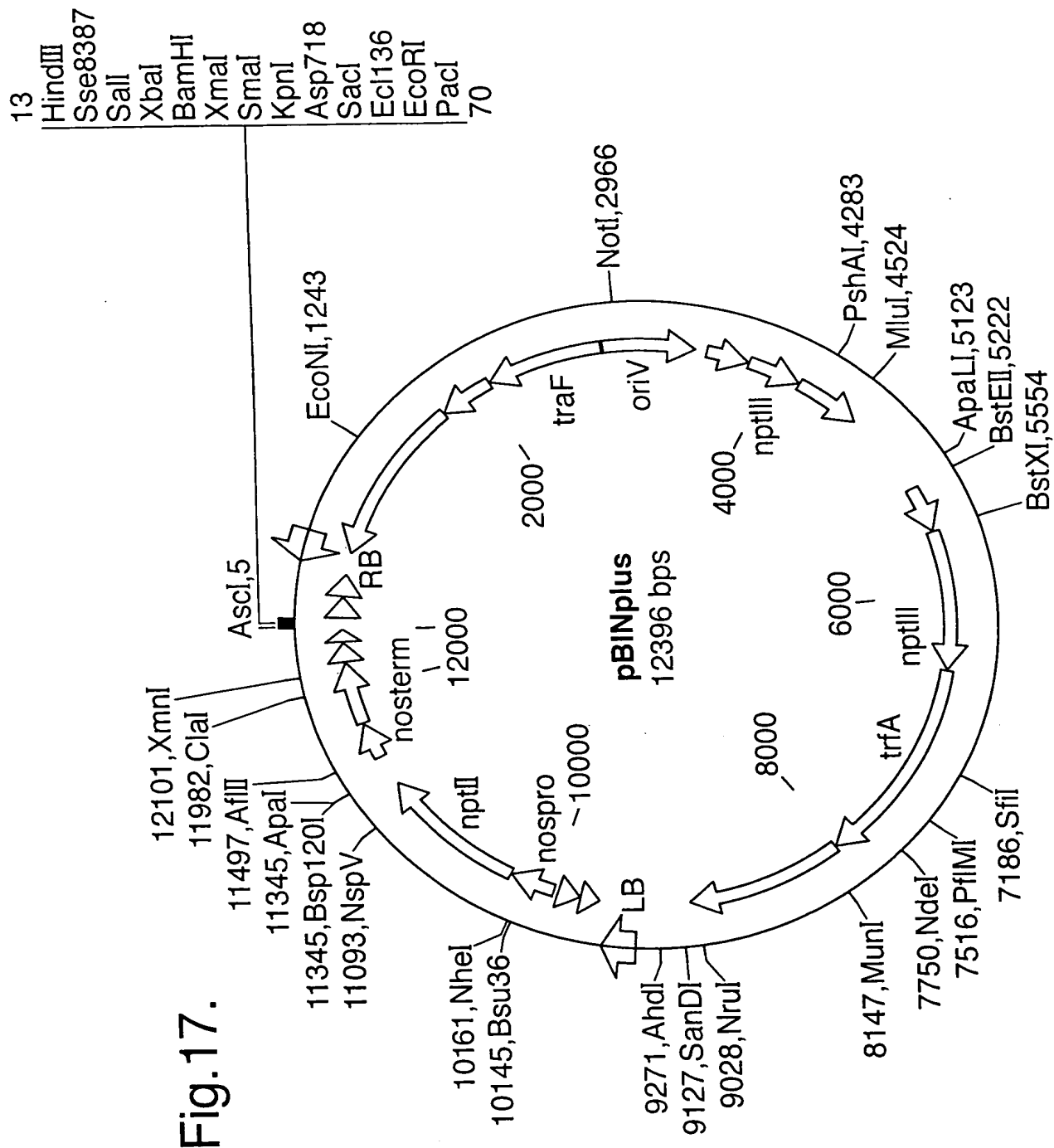


Fig. 14.







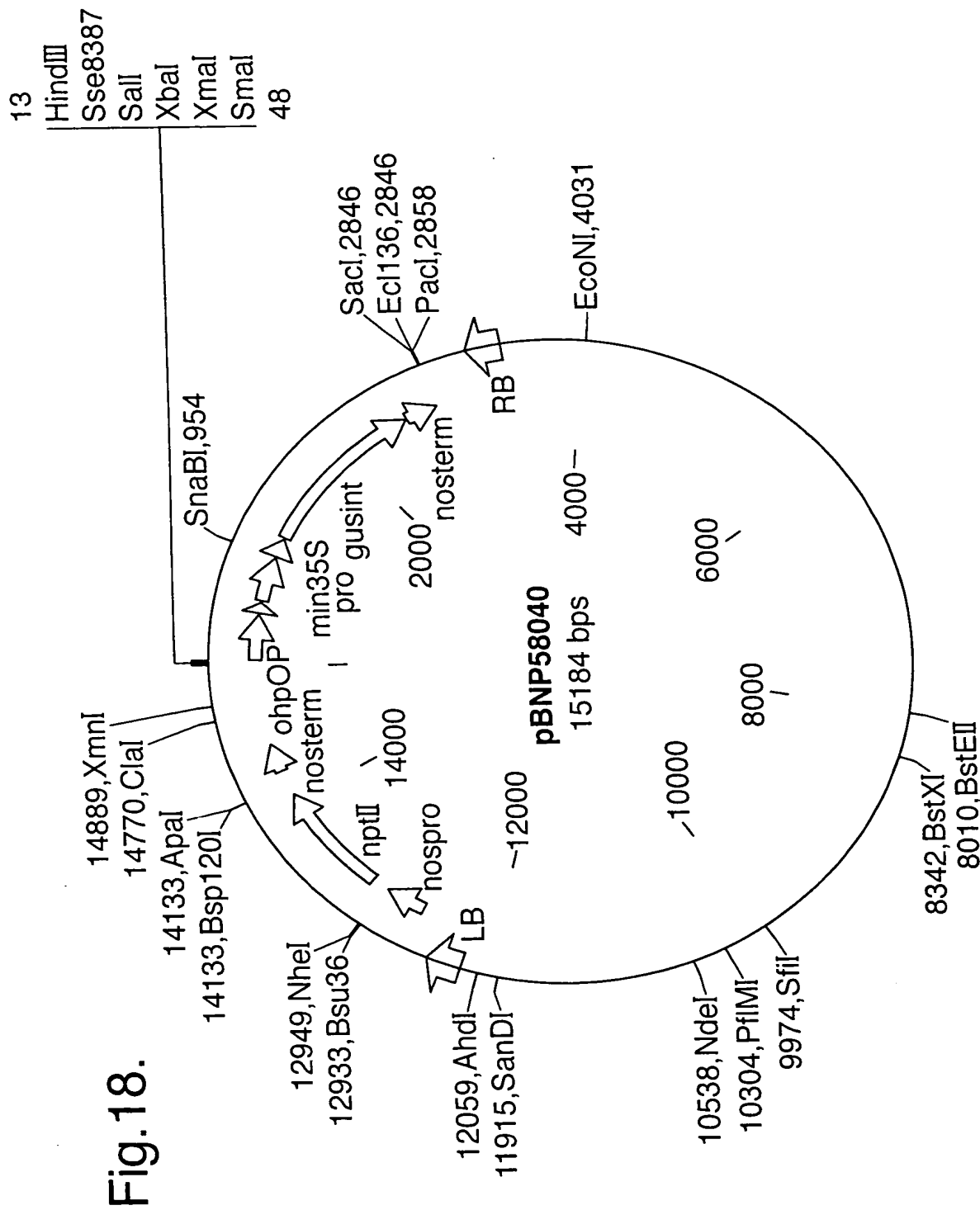


Fig. 19.

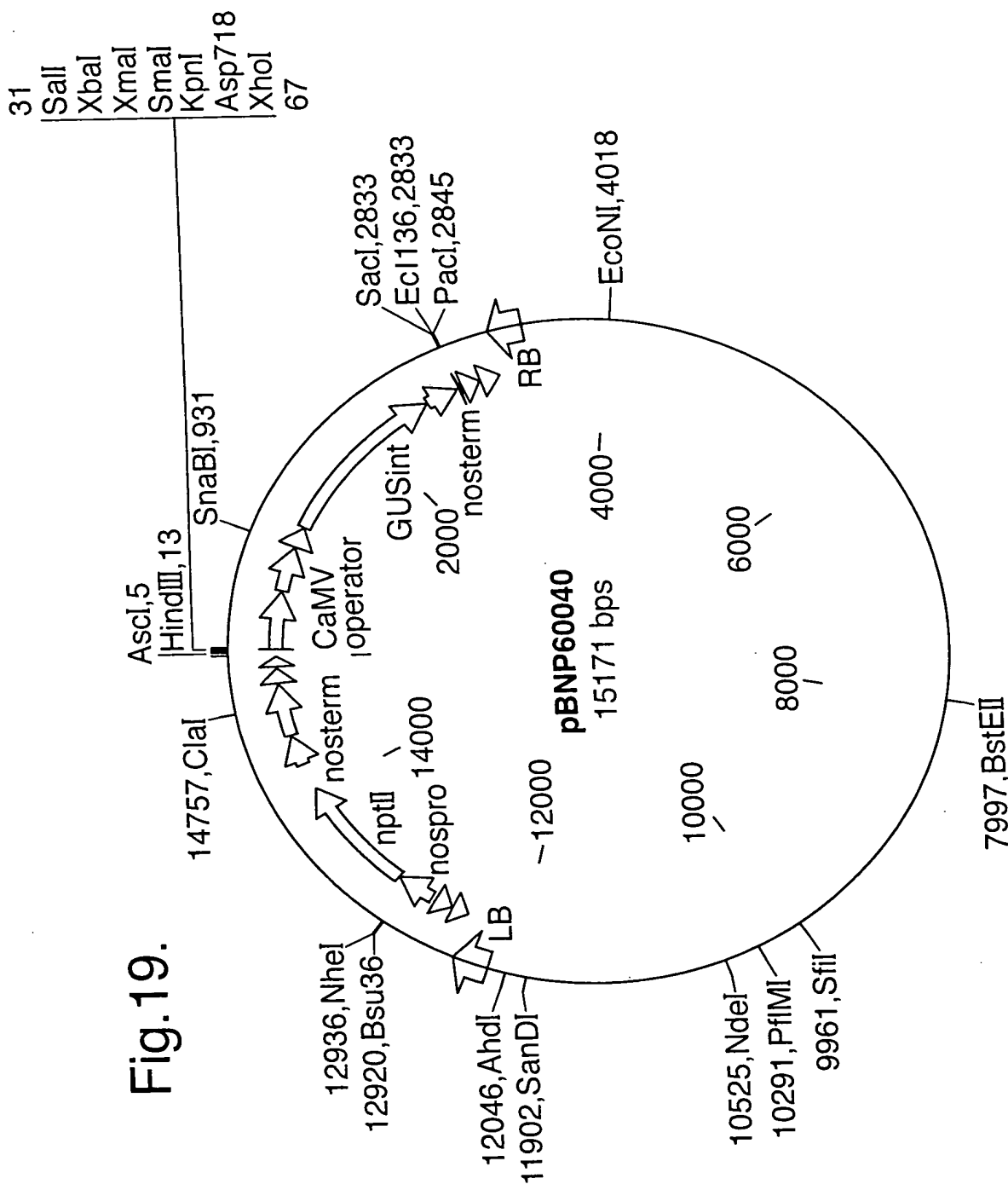


Fig. 20.

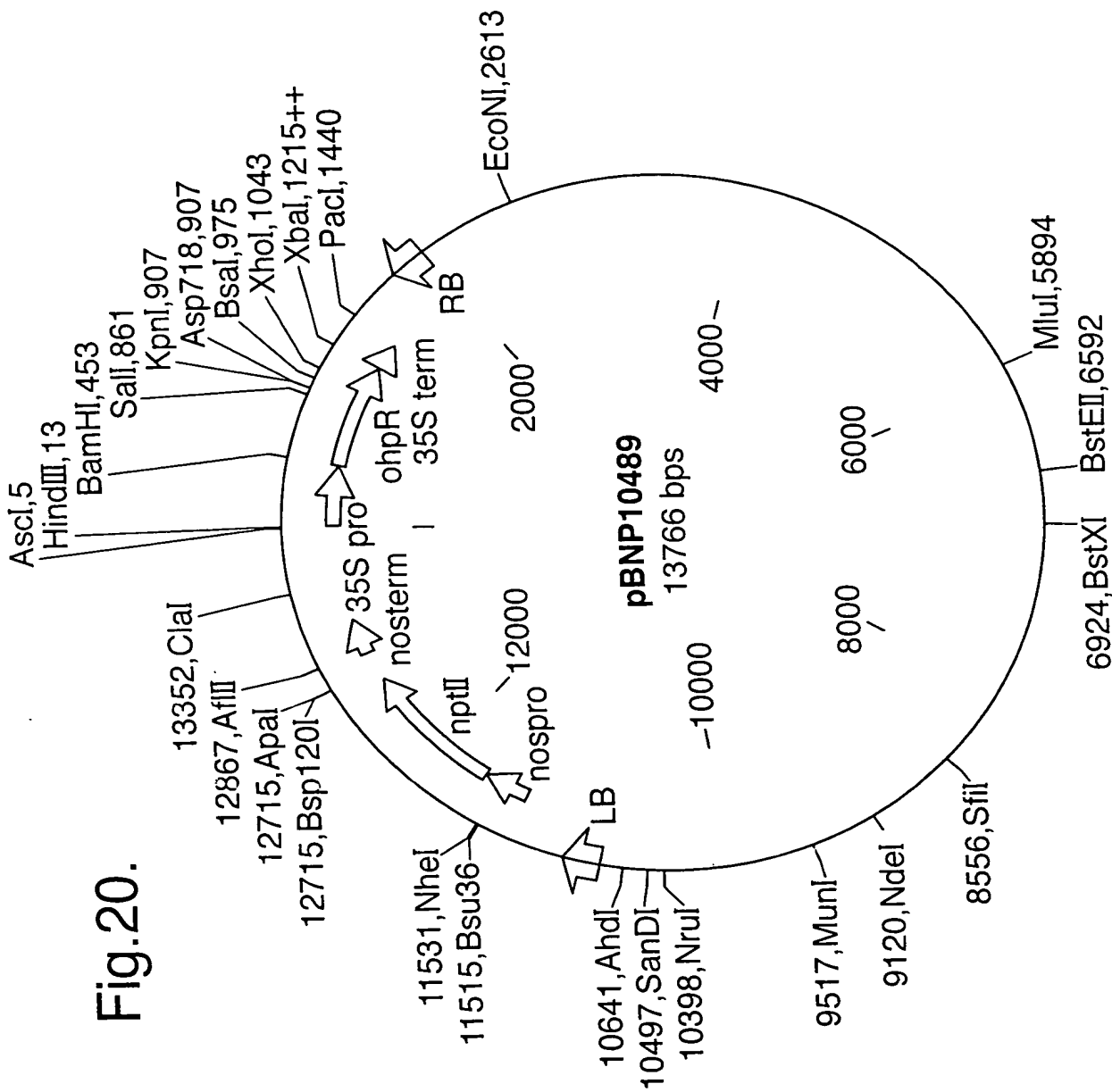


Fig. 21.

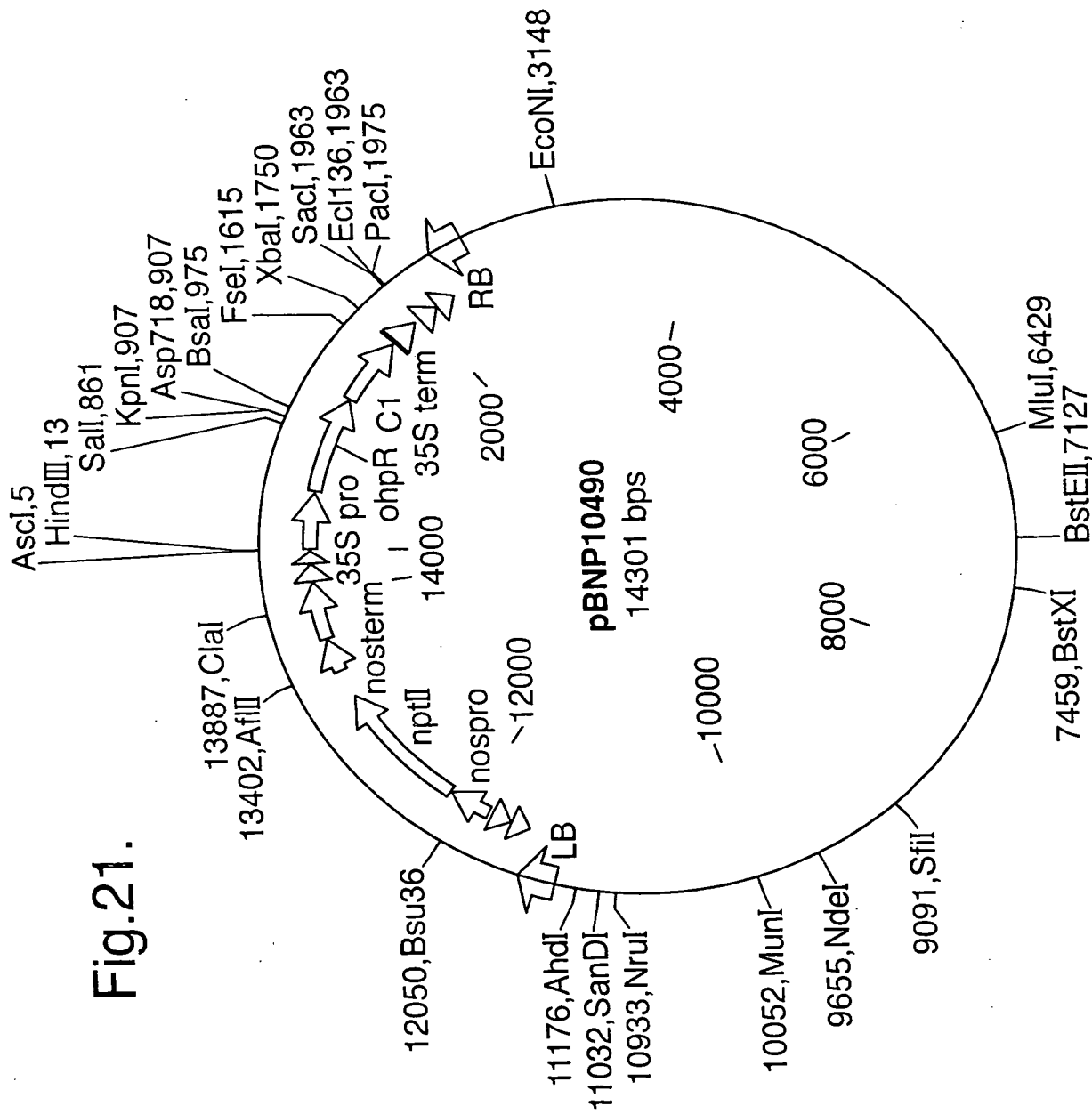


Fig.22.

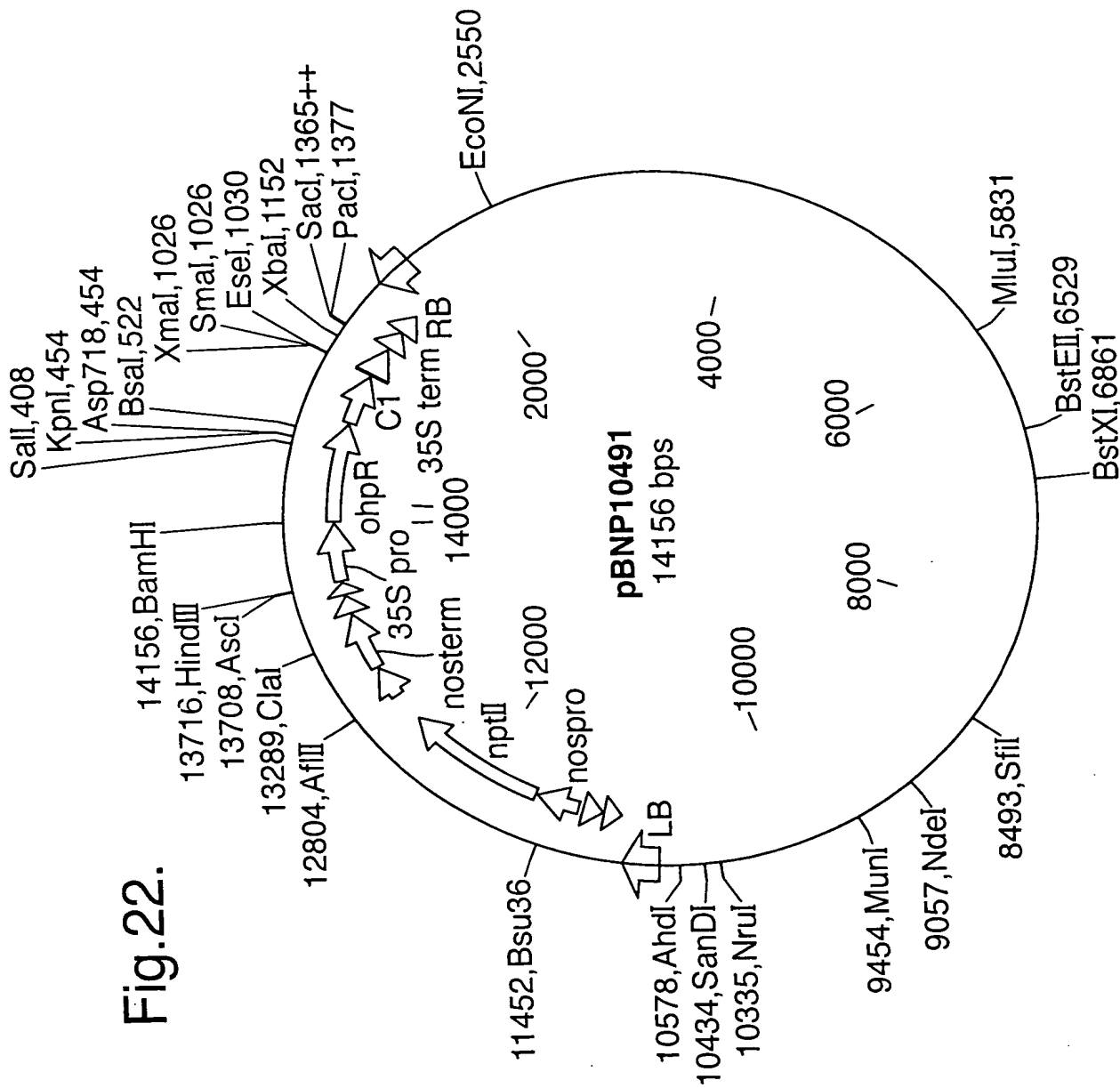


Fig. 23.

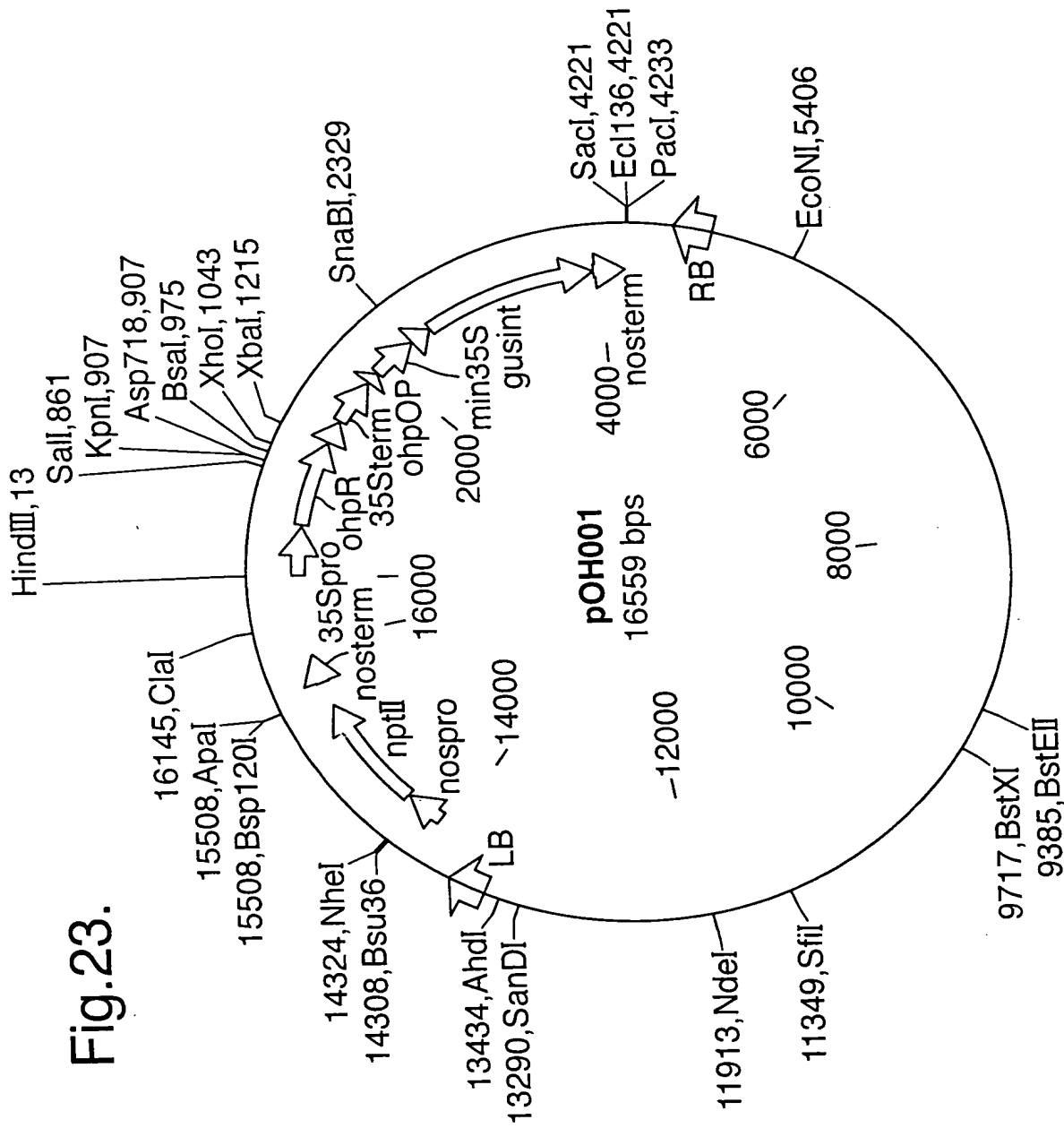


Fig. 24.

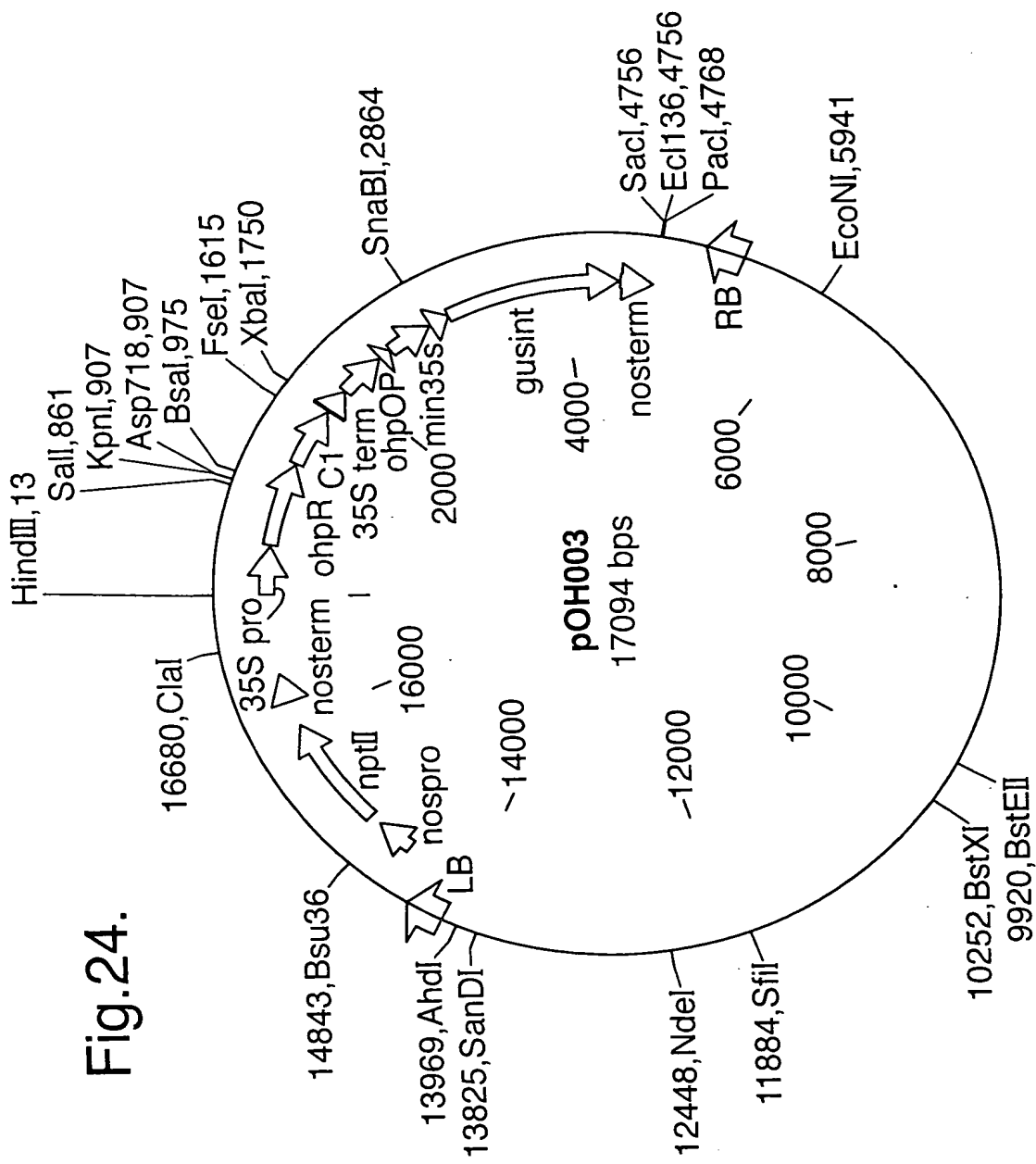


Fig.25.

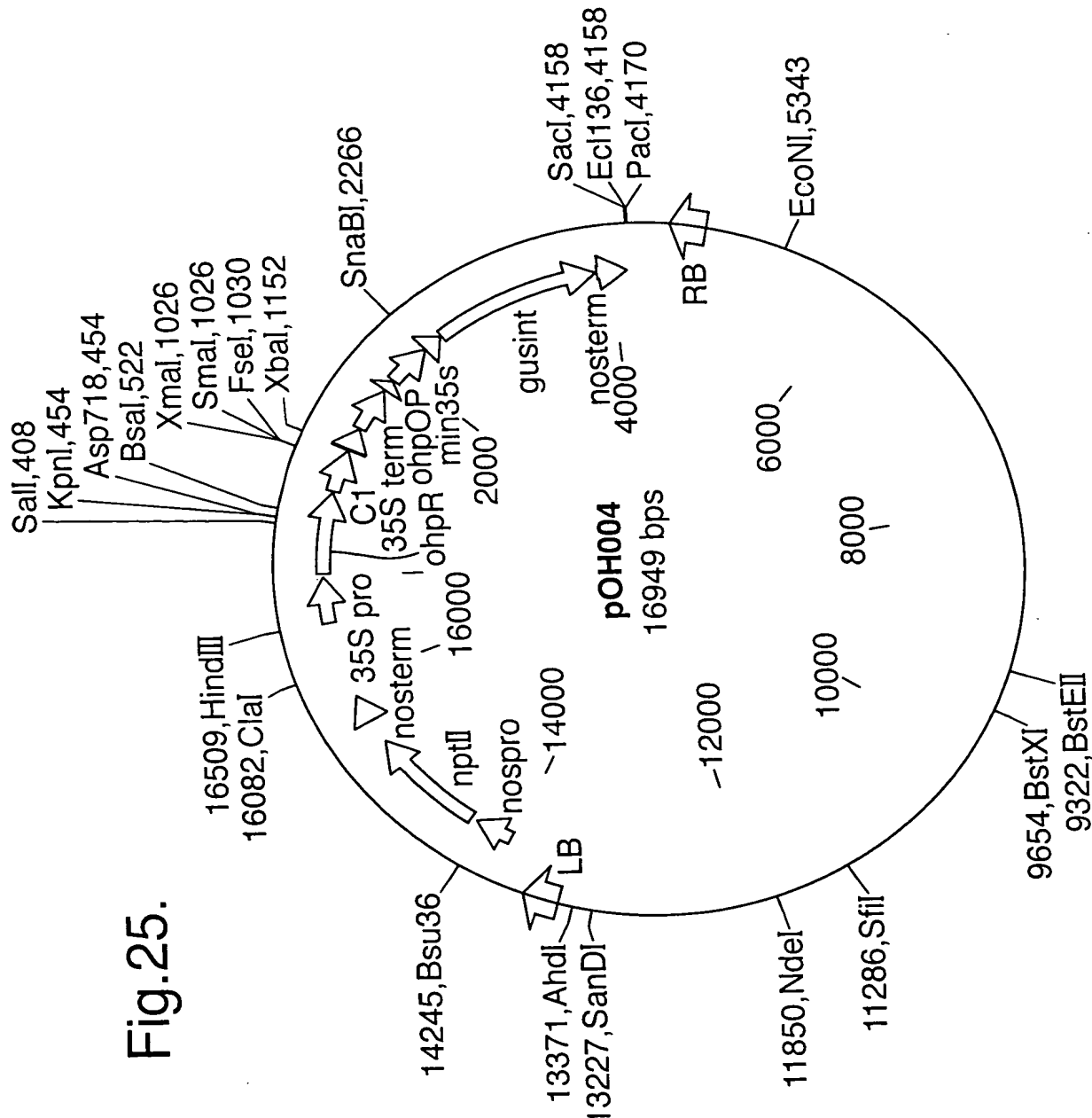


Fig. 26.

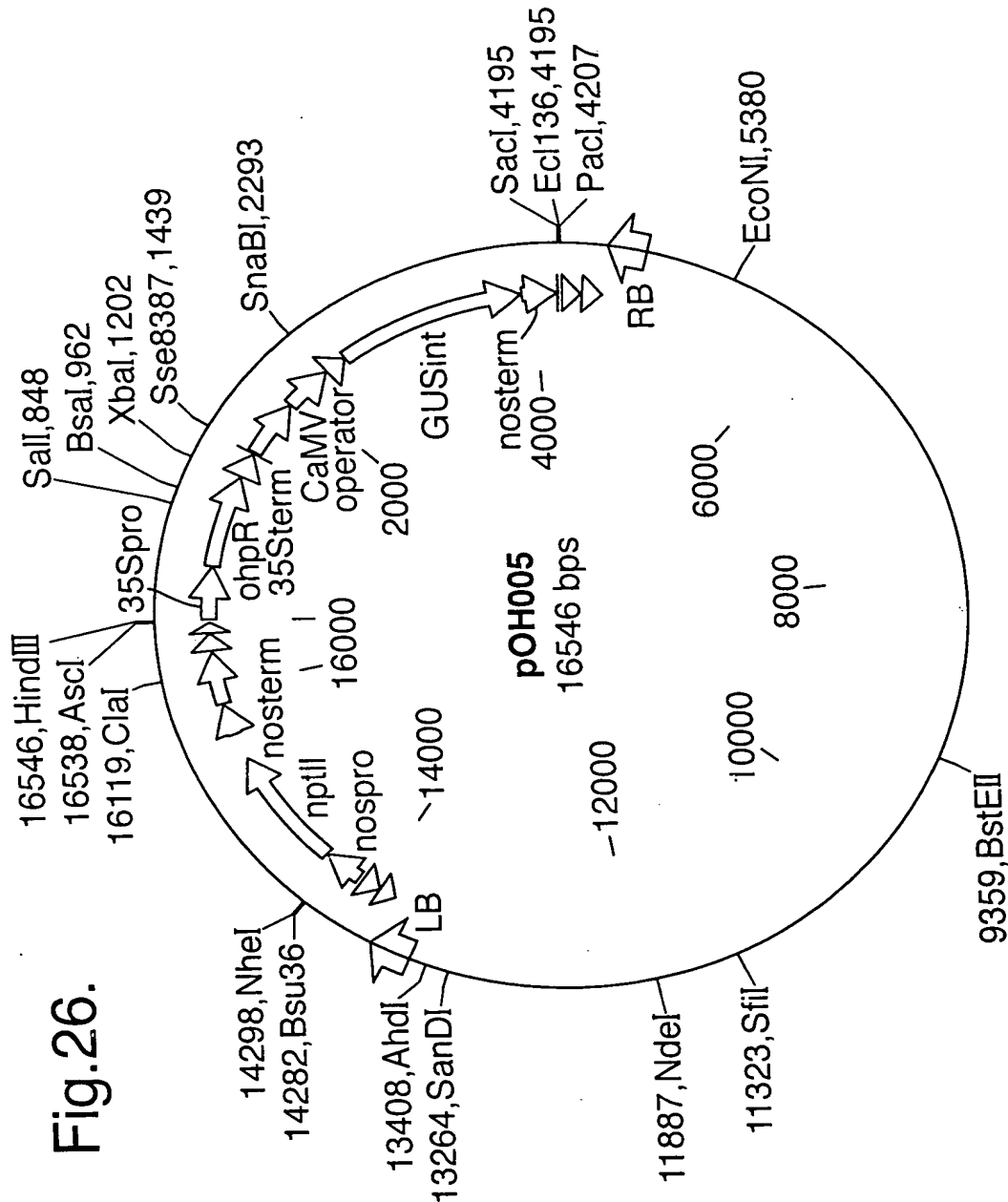


Fig. 27.

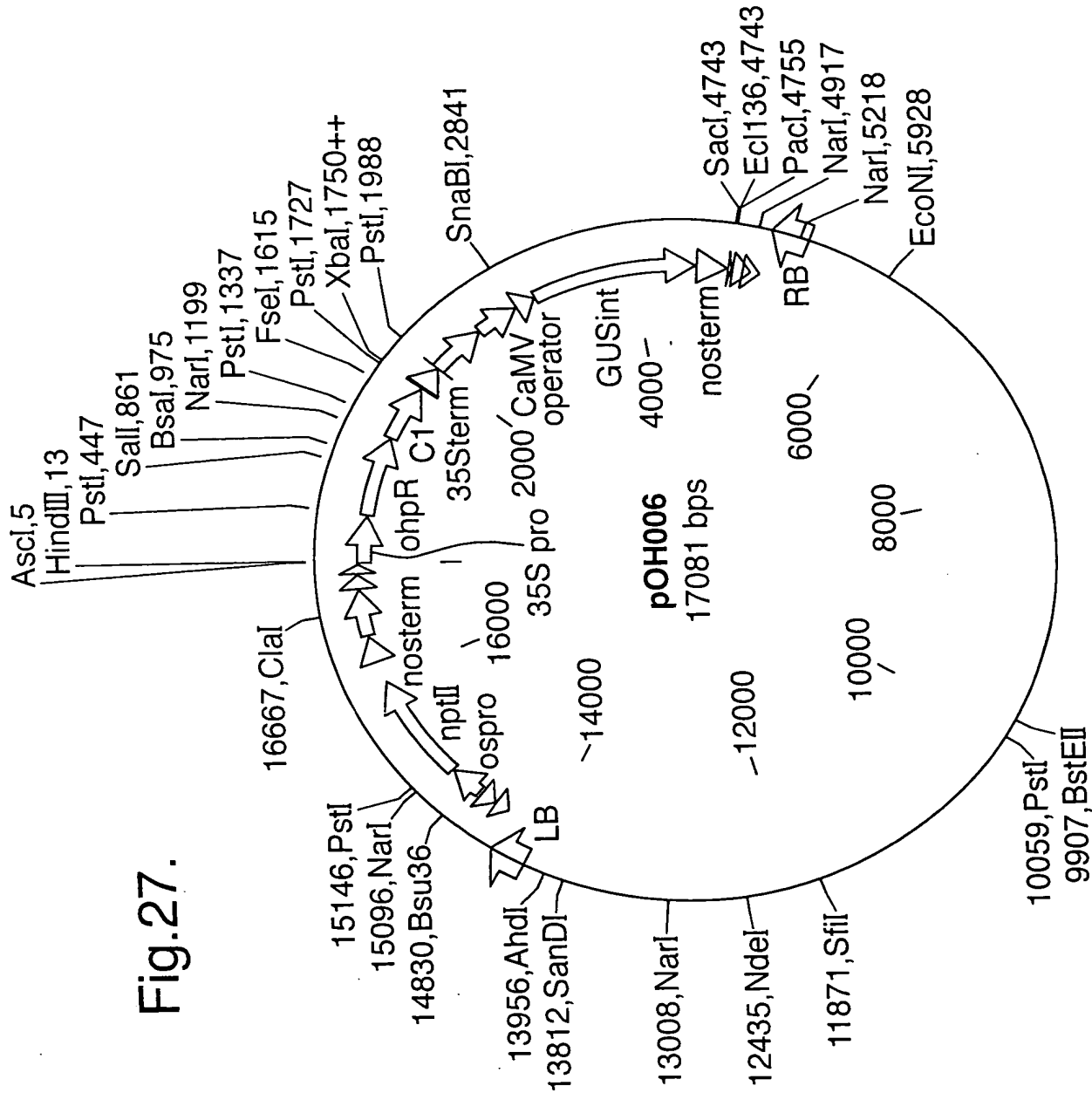


Fig. 28.

